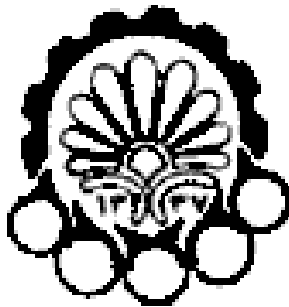


بِسْمِ اللّٰهِ الرَّحْمٰنِ الرَّحِيْمِ



## دانشگاه صنعتی امیرکبیر

(پلی تکنیک تهران)

دانشکده مهندسی معدن، متالورژی و نفت

رساله جهت اخذ مدرک کارشناسی ارشد در رشته شناسایی و انتخاب مواد فلزی

## تولید نانوپودر دیاکسید تیتانیوم به روش مکانوشیمیایی

نگارش:

مریم سالاری

اساتید راهنما:

آقای دکتر محمد موسوی خویی

خانم مهندس زهرا مصفحی

استاد مشاور:

آقای دکتر پیروز مرعشی

شهریور ۱۳۸۶

بسمه تعالی

شماره:

تاریخ:

فرم اطلاعات پایان نامه  
کارشناسی ارشد و دکترا

معاونت پژوهشی  
فرم پروژه تحصیلات تكمیلی ۷



دانشگاه صنعتی امیرکبیر  
(پلی تکنیک تهران)

۱- مشخصات دانشجو:

معادل

بورس

دانشجوی آزاد

نام خانوادگی: مریم سالاری

شماره دانشجویی: ۸۴۱۲۷۰۶۱  
دانشکده: مهندسی معدن و متالورژی رشته تحصیلی: مهندسی مواد - شناسایی و انتخاب مواد

نام و نام خانوادگی استاد راهنما: دکتر سید محمد موسوی خوئی

عنوان به فارسی: سنتز نانوذرات دی اکسید تیتانیوم به روش سنتز مکانوشیمیایی

Title: Mechanochemical Synthesis of TiO<sub>2</sub> Nanoparticles

نظری

توسعه ای

کاربردی

بنیادی

نوع پژوهش:

تعداد واحد: ۶

تاریخ خاتمه: ۳۱ شهریور ۱۳۸۶

تاریخ شروع: اول مهر ۱۳۸۵

سازمان تامین کننده اعتبار:

واژه های کلیدی به فارسی: دی اکسید تیتانیوم، نانوذرات، واکنش مکانوشیمیایی، سولفات تیتانیل

واژه های کلیدی به انگلیسی: titanyl sulphate, mechanochemical reaction, nanoparticles, titanium dioxide

نظرها و پیشنهادها به منظور بهبود فعالیت های پژوهشی دانشگاه:

استاد راهنما: سید محمد موسوی خوئی

دانشجو: مریم سالاری

امضاء استاد راهنما: تاریخ:

نسخه ۱: معاونت پژوهشی  
نسخه ۲: کتابخانه و به اضمام دو جلد پایان نامه به منظور تسویه حساب با کتابخانه و مرکز اسناد و مدارک علمی

## تقدیم به

مادر مهر بانم که دریای محبت را در دلم جاری ساخته است

و

پدر فداکار که همواره تکیه گاه محکمی برای من بوده

و

یار همیشگی زندگی ام

مسیح

## سپاس این دمنان را که عطا فرمود استعداد آموختن را

بر خود لازم می‌دانم در این مجال، عمیق‌ترین سپاس را از اساتید ارجمند جناب آقای دکتر محمد موسوی و خانم مهندس مصطفی به خاطر راهنمایی‌ها و حمایت‌های ایشان در طول انجام این تحقیق به عمل آورم. همچنین از مشاوره‌ی استاد گرامی جناب آقای دکتر پیروز مرعشی صمیمانه تشکر می‌نمایم. نیز از آقایان دکتر نادر پروین و دکتر علی‌اصغر سرابی جهت بازخوانی پایان‌نامه کمال تشکر و قدردانی را ابراز می‌نمایم.

شایسته است از جناب آقای دکتر علیرضا ذوالفقاری به دلیل مساعدت‌ها و راهنمایی‌های شایان علمی صمیمانه تشکر و قدردانی نمایم.

همچنین از آقایان دکتر مضطربزاده، مهندس وارطان، مهندس حافظی، مهندس تیرداد نیکنژاد و مهندس عبدالحمید رضایی و نیز مهندس حامد ابوطالبی که بنده را در انجام هر چه بهتر این پژوهش یاری نموده‌اند، تشکر می‌نمایم.

با سپاس از همسرم مسیح رضائی، که همراه و مشوقی پایدار در طی مراحل علمی و پژوهشی بوده‌اند.

در پایان سپاس باد مادر دلسوز، پدر مهربان و برادران عزیز که در تمام مدت انجام این پژوهش با صبر و شکیبایی بسیار یار و یاور من بوده‌اند.

## چکیده

در سال‌های اخیر، نانوذرات دی‌اکسیدتیتانیوم، به علت داشتن خواص منحصر به فرد و کاربردهای نشات گرفته از این خواص، به شدت مورد توجه قرار گرفته‌اند. تاکنون از روش‌های مختلفی برای سنتز این ذرات استفاده شده است که بیشتر شامل واکنش‌های شیمیایی هستند. روش مکانوشیمیایی یک روش نسبتاً جدید در سنتز نانوذرات دی‌اکسیدتیتانیوم به شمار می‌رود که در سال‌های اخیر توسط تعدادی از محققان تجربه شده است.

در پژوهش حاضر، تهیه نانوذرات دی‌اکسیدتیتانیوم به روش احیای مکانوشیمیایی مورد بررسی قرار گرفته است. پودر سولفات تیتانیل ( $TiOSO_4 \cdot xH_2SO_4 \cdot yH_2O$ ) به عنوان ماده اولیه واکنش و پودر کلرید سدیم ( $NaCl$ ) به عنوان فاز رقیق کننده استفاده شد. به منظور به دست آوردن رفتار حرارتی ماده اولیه، پودر سولفات تیتانیل تحت آزمایش آنالیز حرارتی TGA/DTG قرار گرفت. مخلوط دو ماده با نسبت‌های وزنی مختلف کلرید سدیم به سولفات تیتانیل، پس از خشک شدن درون آسیاب سیارهای پرانرژی تحت اتمسفر گاز محافظ آرگون برای مدت زمان‌های مختلف آسیاب و در دماهای مختلف در هوا به مدت ۳۰ دقیقه آنلیل شد. جهت حذف فاز رقیق کننده، چندین مرتبه پودرهای حاصل به روش گریز از مرکز و با آب مقطر شسته شده و در دمای  $100^{\circ}C$  در هوا خشک شدند. نمونه‌های پودری تحت آزمایش‌های پراش پرتو X (XRD)، میکروسکوپ الکترونی روبشی (SEM) و عبوری (TEM) قرار گرفتند. برای بررسی ناخالصی در پودرها از طیف‌نگاری جذب اتمی (AAS) استفاده شد. همچنین برای تعیین مکانیزم واکنش مکانوشیمیایی، از طیف‌نگاری تبدیل فوریه مادون قرمز (FTIR) استفاده شد.

نتایج به دست آمده نشان داد که تهیه مکانوشیمیایی نانوذرات دی‌اکسیدتیتانیوم از پودر سولفات تیتانیل به روش پیشنهاد شده امکان‌پذیر است. همچنین بسته به شرایط مختلف استفاده شده در آسیاب، از جمله تغییر نسبت وزنی ماده اولیه به فاز رقیق کننده، تغییر زمان آسیاب در نسبت‌های پودری متفاوت، تغییر نسبت وزنی گلوله به پودر و نیز تغییر دمای آنلیل، فازهای بلوری به دست آمده و مقدار نسبی آنها متفاوت بوده و اندازه متوسط ذرات بلوری پودرهای ایجاد شده در محدوده  $15\text{--}50\text{ nm}$  قرار دارد. اندازه‌گیری مستقیم اندازه متوسط ذرات با توجه به تصاویر SEM و TEM، سازگاری مناسبی با اندازه ذرات محاسبه شده از روی پیک‌های XRD و بر اساس معادله شر دارد و در اغلب نمونه‌ها، ذرات تقریباً کروی شکل هستند. همچنین تصاویر SEM در بزرگ‌نمایی بالا حاکی از توزیع نسبتاً یکنواخت ذرات تولید شده در اکثر نمونه‌ها بود. طیف‌های FTIR تهیه شده از پودرهای قبل از آسیاب و پس از آسیاب نشان دادند که آسیاب مکانیکی سبب تبدیل سولفات تیتانیل به ذرات آمورف دی‌اکسیدتیتانیوم آبدار شده و آنلیل کردن باعث بلوری شدن ذرات می‌گردد. نتایج AAS ذرات، نشان از عدم حضور ناخالصی در آن‌ها داشت.

**کلمات کلیدی:** دی‌اکسیدتیتانیوم، نانوذرات، واکنش مکانوشیمیایی، سولفات تیتانیل

**Keywords:** titanium dioxide, nanoparticles, mechanochemical reaction, titanyl sulphate

## فهرست عناوین

۲	۱-۱- مقدمه
۶	۱-۲- دی اکسید تیتانیوم
۶	۱-۱-۲- ساختار بلوری
۷	۱-۲- استحاله‌ی فازی آناتاز به روتایل
۸	۱-۳-۲- خواص و کاربردهای نانوذرات دی اکسید تیتانیوم
۱۰	۱-۲-۲- روش‌های مختلف سنتز نانوذرات دی اکسید تیتانیوم
۱۰	۱-۲-۲- روش سل-ژل
۱۳	۱-۲-۲- روش هیدروترمال
۱۵	۱-۲-۳- روش پلاسمای حرارتی با فرکانس رادیویی
۱۶	۱-۲-۴- روش چگالش از بخار شیمیایی (CVC)
۱۸	۱-۲-۵- روش میکرواختلاط
۱۹	۱-۲-۶- روش میکرومولسیون
۲۱	۱-۲-۷- روش میکروویو
۲۲	۱-۲-۸- روش مکانوشیمیایی
۲۴	۱-۲-۸-۱- مکانیزم انجام واکنش‌های مکانوشیمیایی
۲۵	۱-۲-۸-۲- پارامترهای موثر بر فرآیند مکانوشیمیایی

الف) دمای آسیاب	۲۶.....
ب) نسبت وزنی گلوله به پودر	۲۶.....
پ) عامل کنترل کننده‌ی واکنش (PCA)	۲۶.....
ت) کسر نسبی مواد واکنش دهنده	۲۷.....
د) ابعاد و نحوه‌ی توزیع گلوله‌ها	۲۷.....
۳-۸-۲-۲-۲-۳- سترز نانوذرات دی‌اکسید‌تیتانیوم ( $TiO_2$ ) مکانوشیمیایی	۲۸.....
۱-۳- مواد اولیه	۳۷.....
۱-۱-۳- پودرهای مورد استفاده	۴۷.....
۲-۳- انجام آزمایش‌ها و تهیه نمونه‌ها	۵۸.....
۱-۲-۳- آماده‌سازی پودرها	۵۸.....
۲-۲-۳- اختلاط مواد اولیه	۵۸.....
۳-۲-۳- فرایند آسیاب کردن	۵۸.....
۲-۳-۱- نوع آسیاب مورد استفاده قرار گرفته	۶۸.....
۲-۳-۲-۳- پارامترهای مورد بررسی در فرایند آسیاب کردن	۶۹.....
۲-۴-۴- مرحل پایانی	۷۹.....
۲-۴-۱- عملیات حرارتی	۷۹.....

۳۹.....	۲-۴-۲-۳- فرآیند شستشو
۳۹.....	۲-۳-۴-۲-۳- خشک کردن
۳۹.....	۳-۳- بررسی پودرهای تهیه شده
۴۰.....	۱-۳-۳- آنالیز حرارتی (TGA/DTG)
۴۰.....	۲-۳-۳- پراش پرتو X (XRD)
۴۰.....	۳-۳-۳- میکروسکوپ الکترونی روبشی (SEM)
۴۱.....	۳-۳-۴- میکروسکوپ الکترونی عبوری (TEM)
۴۱.....	۳-۳-۵- آنالیز اندازه ذره (PSA)
۴۱.....	۳-۳-۶- طیف‌نگاری مادون قرمز (IRS)
۴۱.....	۳-۳-۷- طیف‌نگاری تبدیل فوریه مادون قرمز (FTIR)
۴۲.....	۳-۳-۸- طیف‌نگاری جذب اتمی (AAS)
۴۴.....	۴-۱- شناسایی مواد اولیه مورد استفاده
۴۵.....	۴-۲- بررسی پارامترهای موثر در فرآیند احیای مکانوشیمیایی
۴۵.....	۴-۲-۱- بررسی تغییر نسبت وزنی $\text{NaCl}:\text{TiOSO}_4 \cdot x\text{H}_2\text{SO}_4$
۴۵.....	۴-۱-۱-۲- آنالیز XRD
۵۰.....	۴-۲-۱-۲- آنالیز SEM

۵۱	۴-۲-۲-۴- بررسی اثر زمان آسیاب بر فرآیند در نسبت گلوله به پودر ۱:۱۰
۵۲	۴-۲-۲-۱- نسبت وزنی $\text{NaCl}:\text{TiOSO}_4:\text{xH}_2\text{SO}_4$ برابر ۱:۱
۵۳	۴-۲-۱-۱-۱- آنالیز XRD
۵۴	۴-۲-۱-۲-۲- آنالیز SEM
۵۶	۴-۲-۲-۲- نسبت وزنی $\text{NaCl}:\text{TiOSO}_4:\text{xH}_2\text{SO}_4$ برابر ۱:۹
۵۷	۴-۲-۲-۱-۱- آنالیز XRD
۵۹	۴-۲-۲-۲-۲- آنالیز SEM
۶۰	۴-۳-۲-۴- بررسی تغییر نسبت گلوله به پودر (BPR)
۶۱	۴-۲-۳-۱- آنالیز XRD
۶۲	۴-۲-۳-۲- آنالیز SEM
۶۳	۴-۲-۴- بررسی تغییر دمای آئیل بر استحالة فازی آناتاز به روتایل
۶۴	۴-۲-۴-۱- آنالیز XRD
۶۵	۴-۲-۴-۱- آنالیز SEM
۶۶	۴-۲-۵- آنالیز TEM
۷۰	۴-۳- آنالیز لیزری اندازه ذرات
۷۱	۴-۴- تعیین مکانیزم انجام واکنش حین فرآیند آسیاب

٤-٥- تعیین ناخالصی

٧٤

٥-١- نتیجه‌گیری

٧٨

٥-٢- پیشنهادها

٨٠

٦-١- منابع و مراجع

٨٢

## فهرست شکل‌ها

- شکل ۱-۲: نحوه آرایش هشتوجهی‌های  $\text{TiO}_2$  در سه فاز روتایل، آناتاز و بروکیت ..... ۶
- شکل ۲-۲: منحنی‌های انرژی آزاد فازهای مختلف  $\text{TiO}_2$  بر حسب اندازه‌ی ذرات ..... ۸
- شکل ۲-۳: الگوهای XRD پودرهای  $\text{TiO}_2$  نانوکریستالی تهیه شده و تکلیس شده در دماهای متفاوت ..... ۱۱
- شکل ۲-۴: تصویر TEM نانوذرات  $\text{TiO}_2$  آناتاز تکلیس شده در دمای  $200^\circ\text{C}$  ..... ۱۲
- شکل ۲-۵: الگوهای XRD نمونه  $\text{TiO}_2$  ۴ ساعت تکلیس شده در دمای  $400^\circ\text{C}$  ..... ۱۲
- شکل ۲-۶: تصویر TEM نمونه  $\text{TiO}_2$  ۴ ساعت تکلیس شده در دمای  $400^\circ\text{C}$  ..... ۱۲
- شکل ۲-۷: تصویر HRTEM نانوپودرهای تیتانیا که به مدت ۱۲ ساعت در  $100^\circ\text{C}$  پیر شده‌اند ..... ۱۳
- شکل ۲-۸: الگوهای پراش پرتو X پودرهای  $\text{TiO}_2$  که به مدت ۳ دقیقه تحت عملیات میکروویو-هیدرورتمال قرار گرفته‌اند ..... ۱۴
- شکل ۲-۹: تصاویر TEM از پودرهای آناتاز ..... ۱۴
- شکل ۲-۱۰: تصاویر TEM پودرهای  $\text{TiO}_2$  تهیه شده a) به کمک امواج فراصوتی و b) معمولی ..... ۱۵
- شکل ۲-۱۱: الگوهای پراش پرتو X پودرهای  $\text{TiO}_2$  تهیه شده به روش اکسیداسیون پلاسمای حرارتی ..... ۱۶
- شکل ۲-۱۲: الگوهای XRD پودرهای سنتز شده تحت سرعت جریان اکسیژن a)  $2.5 \text{ L/min}$  پودر دانه‌درشت و b) پودر دانه‌ریز ..... ۱۶
- شکل ۲-۱۳: شماتیکی از محل‌های جمع‌آوری ذرات داخل راکتور ..... ۱۷
- شکل ۲-۱۴: الگوهای پراش پرتو X پودرهای تیتانیای جمع‌آوری شده در هر موقعیت ..... ۱۷
- شکل ۲-۱۵: میکروگراف TEM نانوپودر  $\text{TiO}_2$  سنتز شده به روش CF-CVC ..... ۱۷

۱۸..... شکل ۱۶-۲: طرح های پراش نانوپودرهای سنتز شده به روش CF-CVC

۱۷-۲: اثر غلظت  $\text{NH}_4\text{HCO}_3$  روی ریزساختار ذرات  $\text{C}_d$ ,  $\text{NH}_4\text{HCO}_3$  غلظت فاز پیوسته  $\text{TiO}_2$ ,  $\text{C}_c$

۱۹..... فازمتراکم  $\text{U}_c$ ,  $\text{Ti}(\text{SO}_4)_2$  جریان فاز پیوسته  $\text{NH}_4\text{HCO}_3$  ( $\text{mL/s}$ )  $\text{U}_d$  جریان فاز متراکم  $\text{Ti}(\text{SO}_4)_2$

۱۹..... شکل ۱۸-۲: تصاویر TEM نانوذرات  $\text{TiO}_2$  (a)  $\text{C}_c = 0.1 \text{ mol/L}$  و (b)  $\text{C}_c = 0.15 \text{ mol/L}$

۲۰..... شکل ۱۹-۲: تصویر TEM ذرات  $\text{TiO}_2$

۲۱..... شکل ۲۰-۲: توزیع اندازه ذرات محصول خام

۲۱..... شکل ۲۱-۲: تصاویر TEM نمونه های ۲ ساعت تکلیس شده در دماهای (a)  $500^\circ\text{C}$  و (b)  $800^\circ\text{C}$

۲۲-۲: شمایی از حرکت گلوه در داخل محفظه آسیاب

۲۳..... شکل ۲۳-۲: تغییرات دمای محفظه آسیاب حین انجام واکنش احتراقی

۲۴..... شکل ۲۴-۲: شماتیک تغییرات دمای بحرانی واکنش ( $T_c$ ) و حداقل دمای موضعی ( $T_{ig}$ ) با زمان آسیاب

۲۵..... شکل ۲۵-۲: الگوهای XRD مخلوط های  $\text{Na}_2\text{CO}_3$  و  $\text{TiOSO}_4 \cdot x\text{H}_2\text{O}$  آسیاب شده در زمان های مختلف

۲۶-۲: الگوهای XRD مخلوط های  $\text{Na}_2\text{CO}_3$  و  $\text{TiOSO}_4 \cdot x\text{H}_2\text{O}$  آنیل شده در دماهای مختلف که به مدت ۵

۲۷-۲: الگوهای XRD گرفته شده پس از شستشوی  $\text{Na}_2\text{CO}_3$  و  $\text{TiOSO}_4$  ۶۰ دقیقه آسیاب شامل روتایل و

۲۸-۲: الگوهای XRD پودر ۵ دقیقه آسیاب و آنیل شده در دمای  $600^\circ\text{C}$  حاوی فاز آناتاز پس از شستشو

شکل ۲-۲: الگوهای XRD آناتاز آسیاب شده در محفظه کراندومی پس از آنیل در دماهای مختلف و شستن

۳۳.....محصولات جانبی

شکل ۲-۳: تصویر TEM تهیه شده با آسیاب در محفظه‌های کراندومی (الف) آنیل شده در  $400^{\circ}\text{C}$  (با

۳۴.....بزرگنمایی ۶۰۰۰۰ برابر) و (ب) آنیل شده در  $700^{\circ}\text{C}$  (با بزرگنمایی ۱۲۰۰۰۰ برابر)

شکل ۲-۴: الگوهای XRD نمونه‌های به دست آمده با ۵ دقیقه آسیاب مخلوط  $(\text{NH}_4)_2\text{CO}_3$  و  $\text{TiCl}_4$  پس از آنیل در

۳۵.....دماهای مختلف (■) آناتاز (●)  $\text{NH}_4\text{Cl}$  و (○) روتایل

شکل ۳-۱: آسیاب سیارهای مورد استفاده برای تهیه نمونه‌ها

۴۲.....شکل ۳-۲ فلوچارت مراحل انجام پروژه

۴۵.....شکل ۴-۱. آنالیز حرارتی TGA/DTG پودر سولفات تیتانیل ( $\text{TiOSO}_4 \cdot x\text{H}_2\text{SO}_4 \cdot y\text{H}_2\text{O}$ )

شکل ۴-۲: الگوهای XRD نمونه‌های ۴ ساعت آسیاب و آنیل شده در دمای  $700^{\circ}\text{C}$  به مدت ۳۰ دقیقه با تغییر نسبت

۴۶.....وزنی  $\text{TiOSO}_4 \cdot x\text{H}_2\text{SO}_4$  (الف) ۱:۳، (ب) ۱:۵ و (ج) ۱:۹ پس از شستشو.

شکل ۴-۳: اندازه ذرات بلوری محاسبه شده برای فازهای آناتاز و روتایل در زمان آسیاب برابر و نسبت‌های پودری

۴۷.....مختلف

شکل ۴-۴: مقدار نسبی محاسبه شده برای فازهای آناتاز و روتایل در زمان آسیاب برابر و نسبت‌های پودری مختلف

شکل ۴-۵-الف: تصویر SEM نمونه ۴ ساعت آسیاب شده و آنیل شده در دمای  $700^{\circ}\text{C}$  با نسبت وزنی  $\text{NaCl}$ :

۵۰..... $\text{TiOSO}_4 \cdot x\text{H}_2\text{SO}_4$ ، ۱:۳ پس از شستشو با بزرگنمایی ۳۰۰۰۰ برابر.

شکل ۴-۵-ب: تصویر SEM نمونه ۴ ساعت آسیاب شده و آنیل شده در دمای  $700^{\circ}\text{C}$  با نسبت وزنی

۵۱ .....  $\text{NaCl}:\text{TiOSO}_4 \cdot x\text{H}_2\text{SO}_4$  برابر ۵:۱ پس از شستشو با بزرگنمایی ۳۰۰۰۰ برابر

شکل ۴-۶: الگوهای XRD نمونه‌های آسیاب شده در زمان‌های ۴ ساعت، ۵ ساعت و ۶ ساعت در نسبت وزنی

۵۲ .....  $\text{NaCl}:\text{TiOSO}_4 \cdot x\text{H}_2\text{SO}_4$  برابر ۱:۵ و آنیل شده در دمای  $700^{\circ}\text{C}$  به مدت ۳۰ دقیقه پس از شستشو

شکل ۴-۷: اندازه ذرات بلوری فاز آناتاز برای زمان‌های آسیاب مختلف در نسبت وزنی  $\text{NaCl}:\text{TiOSO}_4 \cdot x\text{H}_2\text{SO}_4$

۵۳ ..... برابر ۱:۵

شکل ۴-۸: مقدار نسبی فاز روتایل در زمان‌های آسیاب مختلف و نسبت پودری  $\text{NaCl}:\text{TiOSO}_4$  برابر ۱:۵

شکل ۴-۹-الف: تصویر SEM نمونه ۴ ساعت آسیاب شده و آنیل شده در دمای  $700^{\circ}\text{C}$  با نسبت پودری

۵۵ .....  $\text{NaCl}:\text{TiOSO}_4$  برابر ۱:۵ پس از شستشو با بزرگنمایی ۳۰۰۰۰ برابر

شکل ۴-۹-ب: تصویر SEM نمونه ۶ ساعت آسیاب شده و آنیل شده در دمای  $700^{\circ}\text{C}$  با نسبت پودری

۵۵ .....  $\text{NaCl}:\text{TiOSO}_4$  برابر ۱:۵ پس از شستشو با بزرگنمایی ۳۰۰۰۰ برابر

شکل ۴-۱۰-۱: الگوهای XRD نمونه‌های آسیاب شده در زمان‌های ۴ ساعت، ۵ ساعت و ۶ ساعت در نسبت وزنی

۵۶ .....  $\text{NaCl}:\text{TiOSO}_4 \cdot x\text{H}_2\text{SO}_4$  برابر ۱:۹ و آنیل شده در دمای  $700^{\circ}\text{C}$  به مدت ۳۰ دقیقه پس از شستشو

شکل ۴-۱۱: اندازه متوسط ذرات فاز آناتاز و روتایل برای زمان‌های آسیاب مختلف در نسبت وزنی  $\text{NaCl}:$

۵۷ .....  $\text{TiOSO}_4 \cdot x\text{H}_2\text{SO}_4$  برابر ۱:۹

شکل ۴-۱۲: مقدار نسبی فازهای آناتاز و روتایل برای زمان‌های آسیاب مختلف و نسبت وزنی  $\text{NaCl}:$

۵۸ .....  $\text{TiOSO}_4 \cdot x\text{H}_2\text{SO}_4$  برابر ۱:۹

شکل ۱۳-۴-الف: تصویر SEM نمونه ۵ ساعت آسیاب شده و آنیل شده در دمای  $700^{\circ}\text{C}$  با نسبت پودری

۵۹..... $\text{NaCl:TiOSO}_4$  برابر ۹:۱ پس از شستشو با بزرگنمایی ۳۰۰۰۰ برابر.....

شکل ۱۳-۴-ب: تصویر SEM نمونه ۶ ساعت آسیاب شده و آنیل شده در دمای  $700^{\circ}\text{C}$  با نسبت پودری

۵۹..... $\text{NaCl:TiOSO}_4$  برابر ۹:۱ پس از شستشو با بزرگنمایی ۳۰۰۰۰ برابر.....

شکل ۱۴-۱: الگوهای XRD نمونه‌های آسیاب شده به مدت ۴ ساعت در نسبت‌های وزنی گلوله به پودر ۱۰:۱ و

۱:۲۰، در نسبت وزنی  $\text{NaCl: TiOSO}_4 \cdot \text{xH}_2\text{SO}_4$  برابر ۱:۵ و آنیل شده به مدت ۳۰ دقیقه در دمای  $700^{\circ}\text{C}$  پس از

۶۱.....شستشو.....

شکل ۱۵-۴-الف: تصویر SEM نمونه ۴ ساعت آسیاب شده با نسبت وزنی گلوله به پودر ۱۰:۱ و آنیل شده در دمای

۶۲..... $700^{\circ}\text{C}$  با نسبت پودری  $\text{NaCl:TiOSO}_4$  برابر ۱:۵ پس از شستشو با بزرگنمایی ۳۰۰۰۰ برابر.....

شکل ۱۵-۴-ب: تصویر SEM نمونه ۴ ساعت آسیاب شده با نسبت وزنی گلوله به پودر ۱:۲۰ و آنیل شده در دمای

۶۳..... $700^{\circ}\text{C}$  با نسبت پودری  $\text{NaCl:TiOSO}_4$  برابر ۱:۵ پس از شستشو با بزرگنمایی ۳۰۰۰۰ برابر.....

شکل ۱۶-۴: الگوهای XRD نمونه ۵ ساعت آسیاب شده در نسبت وزنی  $\text{NaCl: TiOSO}_4 \cdot \text{xH}_2\text{SO}_4$  برابر ۱:۵ و آنیل

۶۴.....شده در دماهای مختلف به مدت ۳۰ دقیقه پس از شستشو.....

شکل ۱۷-۴: تغییرات مقدار نسبی فاز روتایل با تغییر دمای آنیل .....

شکل ۱۸-۴: تصویر SEM نمونه ۵ ساعت آسیاب شده با نسبت وزنی گلوله به پودر ۱۰:۱ و آنیل شده در دمای

۶۶..... $800^{\circ}\text{C}$  با نسبت پودری  $\text{NaCl:TiOSO}_4$  برابر ۱:۵ پس از شستشو با بزرگنمایی ۳۰۰۰۰ برابر.....

شکل ۱۹-۴: تصویر TEM نمونه ۴ ساعت آسیاب شده و آنیل شده در دمای  $700^{\circ}\text{C}$  با نسبت پودری

۶۷..... $\text{NaCl:TiOSO}_4$  برابر ۱:۵ پس از شستشو در بزرگنمایی ۸۷۰۰۰۰ برابر.....

شکل ۲۰-۴: تصویر TEM نمونه ۴ ساعت آسیاب شده و آنیل شده در دمای  $700^{\circ}\text{C}$  با نسبت پودری

۶۸..... $\text{NaCl:TiOSO}_4$  برابر ۱:۵ پس از شستشو در بزرگنمایی ۲۱۰۰۰۰۰ برابر.....

شکل ۲۱-۴: تصویر TEM نمونه ۶ ساعت آسیاب شده و آنیل شده در دمای  $700^{\circ}\text{C}$  با نسبت پودری

۶۹..... $\text{NaCl:TiOSO}_4$  برابر ۱:۹ پس از شستشو در بزرگنمایی ۸۰۰۰۰۰ برابر.....

شکل ۲۲-۴: تصویر TEM نمونه ۶ ساعت آسیاب شده و آنیل شده در دمای  $700^{\circ}\text{C}$  با نسبت پودری

۷۰..... $\text{NaCl:TiOSO}_4$  برابر ۱:۹ پس از شستشو در بزرگنمایی ۱۶۰۰۰۰۰ برابر.....

شکل ۲۳-۴: طیف‌نگاری FTIR پودر  $\text{TiOSO}_4 \cdot x\text{H}_2\text{SO}_4 \cdot y\text{H}_2\text{O}$  بدون انجام عملیات حرارتی.....

شکل ۲۴-۴: طیف‌نگاری FTIR پودر  $\text{TiOSO}_4 \cdot x\text{H}_2\text{SO}_4 \cdot y\text{H}_2\text{O}$  که به مدت یک ساعت در دمای  $350^{\circ}\text{C}$  نگهداری

۷۲.....شده است.....

شکل ۲۵-۴: طیف‌نگاری FTIR پودر ۴ ساعت آسیاب شده با نسبت وزنی  $\text{NaCl:TiOSO}_4$  برابر ۱:۹ قبل از آنیل..

شکل ۲۶-۴: نمودار EDX نمونه ۶ ساعت آسیاب شده با نسبت پودری ۱:۹.....

شکل ۲۷-۴: نمودار EDX نمونه ۴ ساعت آسیاب شده با نسبت پودری ۱:۵.....

## فهرست جداول

۹.....	جدول ۲-۱: ویژگی‌های عمومی فازهای مختلف $TiO_2$
۳۱.....	جدول ۲-۲: اثر دمای آنیل بر ترکیب فازی و اندازه ذره
جدول ۲-۳: ترکیبات فازی و اندازه متوسط دانه‌ها در پودرهایی از جنس متفاوت آسیاب شده و در	
۳۲.....	دماهای متفاوت آنیل شده‌اند
۳۵.....	جدول ۲-۴: اثر دمای آنیل بر اندازه ذرات محاسبه شده از فرمول شرر و ترکیبات فازی محصول نهایی
جدول ۴-۱: اندازه متوسط ذرات بلوری و درصد فازهای بلوری تشکیل در نمونه‌های ۴ ساعت آسیاب شده و آنیل	
۴۷.....	شده در دمای $700^{\circ}C$ و در نسبت‌های مختلف $NaCl: TiOSO_4.xH_2SO_4$
۵۲.....	جدول ۴-۲: فازهای بلوری پس از آنیل در $700^{\circ}C$ برای نمونه‌های آسیاب شده در زمان‌های مختلف
جدول ۴-۳: اندازه متوسط ذرات بلوری و درصد فازهای بلوری تشکیل در نمونه‌های ۴ ساعت آسیاب شده و آنیل	
۶۱.....	شده در دمای $700^{\circ}C$ با نسبت گلوله به پودر متفاوت
جدول ۴-۴: اندازه متوسط ذرات بلوری و فازهای بلوری تشکیل در نمونه‌های ۵ ساعت آسیاب شده در نسبت گلوله	
۶۴.....	به پودر ۱: ۵ و آنیل شده در دمای‌های متفاوت
۷۴.....	جدول ۴-۵: مشخصات نمونه‌های انتخاب شده برای تعیین ناخالصی
۷۵.....	جدول ۴-۶: نتایج آنالیز AAS و آزمایش‌های شیمیایی تعیین ناخالصی

## فصل اول

### مقدمه

## ۱-۱- مقدمه

در سال‌های اخیر، سنتز و تهیه ذرات سرامیکی ریز با قطر ذره کمتر از  $100\text{ nm}$  به علت خواص نوری، الکترونیکی و قابلیت چگالش بهتر به شدت مورد توجه قرار گرفته است. در میان این ذرات سرامیکی، نانوذرات دی‌اکسیدتیتانیوم ( $\text{TiO}_2$ ) خواص الکتریکی، نوری و فتوکاتالیستی خوبی از خود نشان داده است [۱]. کاربرد و کارایی این ذرات به شدت تحت تاثیر شکل، ساختار و اندازه کریستالی می‌باشد [۲]. بنابراین تلاش‌های بسیار زیادی برای تولید ذراتی با اندازه، شکل و تخلخل کتترل شده جهت مصرف در فیلم‌های نازک، سرامیک‌ها، کامپوزیت‌ها و کاتالیست‌ها صورت گرفته است [۱].

دی‌اکسیدتیتانیوم ماده‌ای است که در زمینه‌های گوناگونی چون رنگ‌ها، پلاستیک‌ها، مواد آرایشی، جوهرها، کاغذها، فیبرهای شیمیایی و حسگرها کاربرد دارد [۳، ۴]. افزایش کاربردهای این ماده در زمینه‌های کاتالیستی، فتوکاتالیستی و حسگرها، نیاز به استفاده از تجهیزات دقیق برای سنتز آن را به امری ضروری تبدیل نموده است [۳].

در بسیاری موارد،  $\text{TiO}_2$  با استفاده از فرآیند سولفاتی و یا کلریدی تولید می‌شود. ولی ذرات تولید شده به وسیله این فرآیندها نسبتاً درشت بوده (بیش از مقیاس میکرون) و درجه خلوص پایینی دارند. با افزایش نیاز به ذرات دی‌اکسیدتیتانیوم نانوسایز، تحقیقات زیادی در این زمینه انجام گرفته است. با این وجود به علت گران بودن که ناشی از فرآیند پیچیده تولید آن می‌باشد، به طور وسیع مورد استفاده قرار نمی‌گیرد. برای حل این مشکل باید فرآیندی ایجاد شود که با افزایش بازدهی تولید در یک فرآیند ساده، قیمت محصول تولید شده کمتر شود [۴، ۵].